

本文引用:杨莉,贺静,孙晓慧,等. MicroRNA-185 对血管紧张素Ⅱ介导的心肌细胞肥大和凋亡的影响[J]. 新乡医学院学报,2019,36(11):1024-1029. DOI:10.7683/xxxyxb.2019.11.005.

## 【基础研究】

# MicroRNA-185 对血管紧张素Ⅱ介导的心肌细胞肥大和凋亡的影响

杨 莉<sup>1</sup>, 贺 静<sup>1</sup>, 孙晓慧<sup>1</sup>, 乌宇亮<sup>2</sup>

(1. 泾河工业园长庆油田职工医院心血管内科,陕西 西安 710201;2. 西安交通大学第一附属医院心血管内科,陕西 西安 710061)

**摘要:** 目的 探讨 MicroRNA-185 (miR-185) 对血管紧张素Ⅱ (Ang II) 介导的心肌细胞肥大及凋亡的影响。

**方法** 将心肌细胞系 H9c2 细胞随机分为对照组、Ang II 处理组、阴性对照组和 miR-185 过表达组。对照组细胞采用常规培养;Ang II 处理组细胞常规培养,并给予 Ang II 处理;阴性对照组细胞使用含 miR-185 阴性对照(NC)的无血清培养基处理 24 h 后给予 Ang II 处理;miR-185 过表达组细胞使用含 miR-185 模拟物(miR-185 mimic)的无血清培养基处理 24 h 后给予 Ang II 处理。采用实时定量聚合酶链反应检测各组细胞中 miR-185、心房钠尿肽(ANP)、脑钠肽(BNP)、β-肌球蛋白重链(β-MHC)和细胞分裂周期蛋白 42(CDC42) mRNA 表达,应用细胞计数试剂盒-8 检测各组细胞活性,细胞凋亡检测试剂盒测定各组细胞凋亡小体富集因子水平,Western blot 法测定各组细胞中活化型多聚腺苷二磷酸核糖聚合酶(cleaved PARP)、活化型 caspase 3 和 CDC42 蛋白表达。**结果** 与对照组比较,Ang II 处理组和阴性对照组细胞中 miR-185 相对表达量、细胞活性显著降低( $P < 0.05$ ),ANP、BNP、β-MHC 和 CDC42 mRNA 相对表达量、细胞凋亡小体富集因子及活化型 PARP、活化型 caspase 3 和 CDC42 蛋白相对表达量显著升高( $P < 0.05$ )。阴性对照组与 Ang II 处理组细胞中 miR-185 和 ANP、BNP、β-MHC、CDC42 mRNA 相对表达量、细胞活性、凋亡小体富集因子及活化型 PARP、活化型 caspase 3、CDC42 蛋白相对表达量比较差异均无统计学意义( $P > 0.05$ )。与 Ang II 组和阴性对照组比较,miR-185 过表达组细胞中 miR-185 相对表达量、细胞活性显著升高( $P < 0.05$ ),ANP、BNP、β-MHC 和 CDC42 mRNA 相对表达量、细胞凋亡小体富集因子及活化型 PARP、活化型 caspase 3、CDC42 蛋白相对表达量显著降低( $P < 0.05$ )。**结论** miR-185 可能通过下调心肌细胞中 CDC42 水平来减轻 Ang II 介导的心肌细胞损伤,抑制 Ang II 介导的心肌细胞肥大和凋亡,改善心肌细胞活性,从而发挥心肌保护作用。

**关键词:** microRNA-185; 血管紧张素Ⅱ; 心肌肥大; 细胞凋亡; 细胞分裂周期蛋白 42

中图分类号: R542.2 文献标志码: A 文章编号: 1004-7239(2019)11-1024-06

## Effect of microRNA-185 on angiotensin II mediated cardiomyocyte hypertrophy and apoptosis

YANG Li<sup>1</sup>, HE Jing<sup>1</sup>, SUN Xiao-hui<sup>1</sup>, WU Yu-liang<sup>2</sup>

(1. Department of Cardiovascular Medicine, Jinghe Industrial Park Changqing Oilfield Worker's Hospital, Xi'an 710201, Shaanxi Province, China; 2. Department of Cardiovascular Medicine, the First Affiliated Hospital of Xi'an Jiaotong University, Xi'an 710061, Shaanxi Province, China)

**Abstract:** **Objective** To study the effect of microRNA-185 (miR-185) on angiotensin II (Ang II)-mediated cardiomyocyte hypertrophy and apoptosis. **Methods** Myocardial cell line H9c2 cells were randomly divided into control group, Ang II group, negative control group and miR-185 overexpression group. The cells in the control group were cultured conventionally; the cells in the Ang II group were treated with  $0.1 \mu\text{mol} \cdot \text{L}^{-1}$  Ang II for 24 hours; the cells in the negative control group were treated with Ang II after transfection with serum-free medium containing miR-185 negative control for 24 hours, and cells in the miR-185 overexpression group were treated with Ang II after transfection with serum-free medium containing miR-185 mimic for 24 hours. The mRNA levels of atrial natriuretic peptide (ANP), brain natriuretic peptide (BNP) and β-myosin heavy chain (β-MHC) and cell division cyclin 42 (CDC42) were detected by real time-quantitative polymerase chain reaction (RT-qPCR). The cell viability was detected by cell counting kit-8. The levels of apoptosis cell body enrichment factors were detected by cell apoptosis detection kit. The expressions of cleaved poly ADP-ribose polymerase (PARP), cleaved caspase 3 and CDC42 protein were determined by Western blot. **Results** Compared with the control group, in the Ang II group and negative control group, the expression of miR-185 and cell viability were significantly decreased ( $P < 0.05$ ), the mRNA levels of ANP, BNP, β-MHC and CDC42, apoptotic enrichment factors, and the expressions of cleaved

PARP, cleaved caspase 3 and CDC42 protein were obviously increased ( $P < 0.05$ ) . There was no significant difference in the miR-185 level, the mRNA level of ANP, BNP,  $\beta$ -MHC and CDC42, cell viability, apoptotic rich factor, and the expression of cleaved PARP, cleaved caspase 3 and CDC42 protein between the Ang II group and negative control group ( $P > 0.05$ ) . Compared with the Ang II group and negative control group, the level of miR-185 and cell viability were significantly increased ( $P < 0.05$ ), and the expression of ANP, BNP,  $\beta$ -MHC and CDC42 mRNA, apoptotic rich factors, the expression of cleaved PARP, cleaved caspase 3 and CDC42 protein in the miR-185 overexpression group were significantly decreased in the miR-185 overexpression group ( $P < 0.05$ ). **Conclusion** miR-185 may reduce Ang II-mediated cardiomyocyte injury, inhibit Ang II-mediated cardiomyocyte hypertrophy, improve cardiomyocyte activity, inhibit cardiomyocyte apoptosis, and play a role in myocardial protection by down-regulating the CDC42 level of cardiomyocytes.

**Key words:** microRNA-185; angiotensin II; cardiac hypertrophy; cell apoptosis; cell division cycle 42

病理性心肌肥厚是猝死、心力衰竭等心血管疾病的危险因素,其涉及心肌细胞肥大、凋亡、自噬及炎症反应等相关机制<sup>[1]</sup>。寻找有效阻碍心肌细胞肥厚和凋亡的靶分子对改善心肌肥厚具有重要意义。研究证实,微小核糖核苷酸(microRNA, miRNA)参与调控心脏疾病的发生、发展<sup>[2]</sup>,miR-185在心肌肥厚模型中表达下调<sup>[3]</sup>,但其对心肌细胞肥大及凋亡的影响尚不清楚。心房钠尿肽(atrial natriuretic peptide, ANP)、脑钠肽(B-type natriuretic peptide, BNP)和 $\beta$ -肌球蛋白重链( $\beta$ -myosin heavy chain,  $\beta$ -MHC)是心肌细胞肥大的标志物,这些指标升高表明存在心肌细胞肥大。细胞分裂周期蛋白42(cell division cycle 42, CDC42)是miR-185的一个靶分子,与心肌细胞肥大和凋亡有一定关系,其在压力超负荷的心脏和体外培养的心肌细胞中可被多种激动剂包括血管紧张素Ⅱ(angiotensin II, Ang II)和异丙肾上腺素激活,具有心肌损伤作用。活化型多聚腺苷二磷酸核糖聚合酶(poly ADP-ribose polymerase, PARP)和活化型 caspase 3 是细胞凋亡的分子标志物。本研究通过观察miR-185对Ang II介导的心肌细胞系H9c2细胞中ANP、BNP、 $\beta$ -MHC和CDC42 mRNA表达水平及细胞活性、细胞凋亡小体富集因子、活化型 PARP 和活化型 caspase 3 的影响,旨在探讨miR-185影响心肌细胞肥大及凋亡的作用机制,为miR-185在心脏疾病防治中的应用提供理论支持。

## 1 材料与方法

**1.1 细胞** 心肌细胞系H9c2细胞由中国科学院细胞库提供,冻存于含二甲基亚砜(dimethylsulfoxide, DMSO)的胎牛血清(fetal bovine serum, FBS)中,液氮保存。

**1.2 主要试剂与仪器** Ang II、青链霉素、达尔伯克改良伊格尔培养基(Dulbecco's modified Eagle's medium, DMEM)、FBS购自美国Hyclone公司,DMSO购自美国Sigma公司,miR-185模拟物(miR-185 mimic)和miR-185阴性对照购自上海吉玛制药技术

有限公司,实时定量SYBR Mix试剂盒购自德国Qiagen公司,TRIzol试剂盒、lipofactamine2000试剂购自美国Invitrogen公司,细胞凋亡检测试剂盒购自德国罗氏公司,细胞计数试剂盒-8(cell counting kit-8, CCK-8)、二喹啉甲酸(bicinchoninic acid, BCA)蛋白定量试剂盒、放射免疫沉淀分析(radio immunoprecipitation assay, RIPA)裂解液和胰蛋白酶细胞消化液购自上海碧云天生物技术有限公司,辣根过氧化酶标志羊抗兔二抗购自北京中杉金桥生物技术有限公司,蛋白显色液购自美国Millipore公司,抗PARP、活化型 caspase 3、CDC42抗体购自美国Cell Signaling Technology公司,双荧光素酶报告mRNA试剂盒和反转录试剂盒购自美国Promega公司;37℃恒温培养箱购自德国Heraeus公司,细胞培养板购自美国Coring公司,ABI 7500聚合酶链反应(polymerase chain reaction, PCR)仪购自美国Applied Biosystems公司,低温高速离心机和多功能酶标仪购自美国Thermo Fisher公司。

### 1.3 实验方法

**1.3.1 细胞培养** 取冻存的H9c2细胞,37℃温水迅速融化,并悬浮于含体积分数20% FBS的DMEM中,混匀后转移至新的离心管,1 000 r·min<sup>-1</sup>离心10 min,弃培养基,沉淀的细胞加入10 mL DMEM,混匀,接种于10 cm培养皿中,置于37℃、含体积分数5% CO<sub>2</sub>的培养箱中培养48 h后进行细胞传代。传代2次后用于后续实验。

**1.3.2 细胞分组及转染** 取传代2次的H9c2细胞接种于6孔板,培养24 h后随机分为对照组、Ang II处理组、阴性对照组和miR-185过表达组。对照组细胞采用无血清培养基培养5 h后更换为完全培养基,继续培养43 h;Ang II处理组细胞采用无血清培养基培养5 h后更换为完全培养基,继续培养19 h,给予0.1  $\mu$ mol·L<sup>-1</sup> Ang II处理24 h;阴性对照组细胞采用含50 pmol·L<sup>-1</sup> miR-185阴性对照的无血清培养基培养5 h,更换为完全培养基继续培养19 h,给予0.1  $\mu$ mol·L<sup>-1</sup> Ang II处理24 h;miR-185过表达组细胞采用含50 pmol·L<sup>-1</sup> miR-185 mimic的无

血清培养基培养5 h,更换为完全培养基继续培养19 h,给予 $0.1\text{ }\mu\text{mol}\cdot\text{L}^{-1}$  Ang II处理24 h。阴性对照组和miR-185过表达组细胞使用的转染试剂为lipofectamine2000。

**1.3.3 实时定量PCR检测各组细胞中miR-185及ANP、BNP、 $\beta$ -MHC、CDC42 mRNA表达** 取“1.3.2项”培养的各组细胞,用磷酸盐缓冲液(phosphate buffered solution, PBS)清洗3次,各孔加入1 mL TRIzol试剂,于冰上反应10 min,提取细胞总RNA。按照反转录试剂盒说明书将RNA反转录为cDNA。反转录体系为: $2\times$  PCR缓冲液 $12.5\text{ }\mu\text{L}$ , cDNA $1\text{ }\mu\text{L}$ ,上游引物 $0.5\text{ }\mu\text{L}$ ,下游引物 $0.5\text{ }\mu\text{L}$ ,SYBR Green I $0.5\text{ }\mu\text{L}$ ,灭菌蒸馏水 $10.0\text{ }\mu\text{L}$ ,总体积为 $25\text{ }\mu\text{L}$ 。每组设置3个复孔,使用ABI 7500 PCR仪进行实时定量,工作程序设定为: $94\text{ }^\circ\text{C}$ 预热2 min, $94\text{ }^\circ\text{C}$ 变性15 s, $60\text{ }^\circ\text{C}$ 退火30 s, $72\text{ }^\circ\text{C}$ 延伸30 s,共40个循环。以U6作为miR-185的内参, $\beta$ -actin作为ANP、BNP、 $\beta$ -MHC和CDC42的内参。采用 $2^{-\Delta\Delta Ct}$ 法计算目的mRNA和miR-185的相对表达量。

**1.3.4 CCK-8法检测各组细胞活性** 取“1.3.2项”培养的各组细胞,弃培养基,各孔加入 $100\text{ }\mu\text{L}$  PBS洗涤2次,加入 $100\text{ }\mu\text{L}$ 培养基和 $10\text{ }\mu\text{L}$  CCK-8溶液混匀;同时设置空白孔,加入 $100\text{ }\mu\text{L}$ 培养基和 $10\text{ }\mu\text{L}$  CCK-8溶液; $37\text{ }^\circ\text{C}$ 培养箱中孵育2 h,采用多功能酶标仪于 $450\text{ nm}$ 波长处测定各组细胞的吸光度值(A),细胞活性(%)= $(A_{\text{实验组}} - A_{\text{空白组}})/(A_{\text{对照组}} - A_{\text{空白组}})$  $\times 100\%$ 。其中 $A_{\text{实验组}}$ 代表对照组、Ang II处理组、阴性对照组和miR-185过表达组细胞A值。每组设3个复孔,取均值。

**1.3.5 细胞凋亡检测试剂盒检测各组细胞凋亡情况** 取“1.3.2项”培养的各组细胞,弃培养基,用PBS清洗3次,胰蛋白酶消化后将细胞重悬于PBS中, $800\times g$ 离心10 min,弃上清液,加入 $200\text{ }\mu\text{L}$ 裂解液,室温反应30 min; $800\times g$ 离心10 min。取 $20\text{ }\mu\text{L}$ 上清液加至链霉亲和素包被的微孔板中,再加入 $80\text{ }\mu\text{L}$ 免疫反应试剂(偶联有过氧化物酶的抗-DNA单克隆抗体、抗组蛋白-生物素、温育缓冲液,1:1:18混合),在摇床上避光室温反应2 h,弃上清液,加入 $250\text{ }\mu\text{L}$ 温育缓冲液清洗3次,弃上清。加入 $100\text{ }\mu\text{L}$ 2,2'-联氮-双-3-乙基苯并噻唑啉-6-磺酸二铵盐,室温孵育45 min。另设1个孔,加入 $100\text{ }\mu\text{L}$ 2,2'-联氮-双-3-乙基苯并噻唑啉-6-磺酸二铵盐作为空白对照孔(不含细胞裂解液)。于 $405\text{ nm}$ 波长处测定各孔A值,每组设置3个复孔。结果用凋亡小体富集因子表示,富集因子= $(A_{\text{实验组}} - A_{\text{空白对照组}})/A_{\text{对照组}}$ 。其中 $A_{\text{实验组}}$ 代表对照组、Ang II

入组、阴性对照组和miR-185过表达组细胞A值。富集因子越大,表明细胞凋亡水平越高。

**1.3.6 Western blot法测定各组细胞中活化型PARP、活化型caspase 3和CDC42蛋白表达** 取“1.3.2项”培养的各组细胞,PBS清洗3次,每孔加入 $80\text{ }\mu\text{L}$ 蛋白裂解液,于冰上反应15 min,收集细胞总蛋白,BCA法测定各组细胞的蛋白浓度。每组取 $50\text{ }\mu\text{g}$ 蛋白样品,在十二烷基硫酸钠-聚丙烯酰胺凝胶电泳(dodecyl sulfate, sodium salt-polyacrylamide gel electrophoresis, SDS-PAGE)中进行电泳分离,采用 $200\text{ mA}$ 恒流湿转移法将蛋白转移至硝酸纤维素膜,室温条件下采用 $50\text{ g}\cdot\text{L}^{-1}$ 牛血清白蛋白封闭1 h,加入抗PARP(1:500)、活化型caspase 3(1:500)、CDC42(1:1 000)和 $\beta$ -actin(1:5 000)一抗, $4\text{ }^\circ\text{C}$ 过夜孵育,加入羊抗兔二抗(1:5 000)室温孵育2 h,每张膜上加入 $200\text{ }\mu\text{L}$ 显色液,进行X胶片曝光显影,采用Image J软件分析各条带的灰度值。实验重复3次,取均值。

**1.4 统计学处理** 应用GraphPad Prism 5.0软件进行统计分析,计量资料以均数 $\pm$ 标准差( $\bar{x}\pm s$ )表示,组间比较采用t检验,多组间比较采用单因素方差分析, $P<0.05$ 为差异有统计学意义。

## 2 结果

**2.1 4组细胞中miR-185及ANP、BNP、 $\beta$ -MHC mRNA、CDC42 mRNA相对表达量比较** 结果见表1。与对照组比较,Ang II处理组和阴性对照组细胞中miR-185相对表达量显著下降,ANP、BNP、 $\beta$ -MHC和CDC42 mRNA相对表达量显著升高,差异均有统计学意义( $P<0.05$ )。Ang II处理组与阴性对照组细胞中miR-185及ANP、BNP、 $\beta$ -MHC、CDC42 mRNA相对表达量比较差异无统计学意义( $P>0.05$ )。与Ang II处理组和阴性对照组比较,miR-185过表达组细胞中miR-185相对表达量显著升高,ANP、BNP、 $\beta$ -MHC、CDC42 mRNA相对表达量显著下降,差异均有统计学意义( $P<0.05$ )。

表1 4组细胞中miR-185及ANP、BNP、 $\beta$ -MHC、CDC42 mRNA相对表达量比较

Tab. 1 Comparison of relative expressions of miR-185 and ANP, BNP,  $\beta$ -MHC and CDC42 mRNA among the four groups ( $\bar{x}\pm s$ )

组别	n	miR-185	ANP mRNA	BNP mRNA	$\beta$ -MHC mRNA	CDC42 mRNA
对照组	3	$1.02\pm0.02$	$0.96\pm0.02$	$0.98\pm0.03$	$1.12\pm0.04$	$1.02\pm0.03$
Ang II处理组	3	$0.43\pm0.04^a$	$4.62\pm0.31^a$	$4.16\pm0.31^a$	$3.67\pm0.27^a$	$2.42\pm0.15^a$
阴性对照组	3	$0.51\pm0.05^a$	$5.08\pm0.37^a$	$4.28\pm0.46^a$	$4.05\pm0.35^a$	$2.51\pm0.23^a$
miR-185过表达组	3	$1.78\pm0.26^{bc}$	$3.01\pm0.12^{bc}$	$2.49\pm0.27^{bc}$	$2.16\pm0.18^{bc}$	$1.68\pm0.11^{bc}$

注:与对照组比较<sup>a</sup> $P<0.05$ ;与Ang II处理组比较<sup>b</sup> $P<0.05$ ;与阴性对照组比较<sup>c</sup> $P<0.05$ 。

**2.2 4组细胞活性比较** 对照组、Ang II组、阴性对照组和miR-185过表达组细胞活性分别为(100.03±1.29)%、(43.26±6.06)%、(36.18±4.27)%和(79.28±5.18)%。与对照组比较,Ang II处理组和阴性对照组细胞活性显著降低,差异有统计学意义( $P<0.05$ )。阴性对照组与Ang II处理组细胞活性比较差异无统计学意义( $P>0.05$ )。与Ang II处理组和阴性对照组比较,miR-185过表达组细胞活性升高,差异有统计学意义( $P<0.05$ )。

**2.3 4组细胞凋亡情况比较** 对照组、Ang II处理组、阴性对照组和miR-185过表达组细胞凋亡小体富集因子分别为 $0.12\pm0.02$ 、 $0.56\pm0.06$ 、 $0.49\pm0.04$ 和 $0.39\pm0.04$ 。与对照组比较,Ang II处理组和阴性对照组细胞凋亡小体富集因子显著增高,差异有统计学意义( $P<0.05$ )。阴性对照组与Ang II处理组细胞凋亡小体富集因子比较差异无统计学意义( $P>0.05$ )。与Ang II处理组和阴性对照组比较,miR-185过表达组细胞凋亡小体富集因子显著降低,差异有统计学意义( $P<0.05$ )。

**2.4 4组细胞活化型PARP、活化型caspase 3和CDC42蛋白相对表达量比较** 结果见图1和表2。与对照组比较,Ang II处理组和阴性对照组细胞中活化型PARP、活化型caspase 3和CDC42蛋白相对表达量显著增高,差异有统计学意义( $P<0.05$ )。阴性对照组与Ang II处理组细胞中活化型PARP、活化型caspase 3和CDC42蛋白相对表达量比较差异无统计学意义( $P>0.05$ )。与Ang II处理组和阴性对照组比较,miR-185过表达组细胞中活化型PARP、活化型caspase 3和CDC42蛋白相对表达量降低,差异有统计学意义( $P<0.05$ )。

**表2 4组细胞中活化型PARP、活化型caspase 3和CDC42蛋白相对表达量比较**

**Tab. 2 Comparison of relative expressions of cleaved PARP, cleaved caspase 3 and CDC42 protein among the four groups**

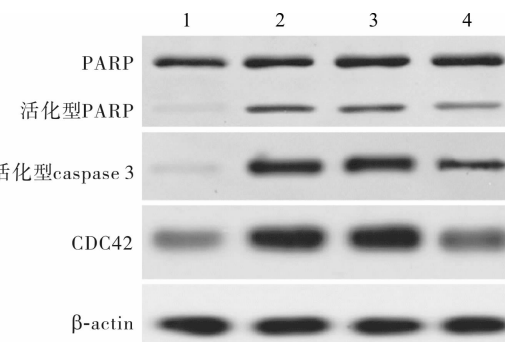
组别	n	活化型PARP	活化型caspase 3	CDC42
对照组	3	$1.02\pm0.03$	$0.95\pm0.03$	$1.01\pm0.02$
Ang II处理组	3	$4.26\pm0.38^a$	$6.87\pm0.71^a$	$3.49\pm0.21^a$
阴性对照组	3	$3.94\pm0.45^a$	$7.03\pm0.61^a$	$3.28\pm0.32^a$
MiR-185过表达组	3	$2.38\pm0.25^{bc}$	$4.05\pm0.36^{bc}$	$1.54\pm0.15^{bc}$

注:与对照组比较<sup>a</sup> $P<0.05$ ;与Ang II处理组比较<sup>b</sup> $P<0.05$ ;与阴性对照组比较<sup>c</sup> $P<0.05$ 。

### 3 讨论

心肌肥厚分为生理性肥厚和病理性肥厚,生理性心肌肥厚常发生于儿童猛长期、女性孕期及运动员,病理性心肌肥厚是由长期的压力负荷导致异常血流动力学应激、高血压、心肌梗死等因素引起。早期心肌肥厚有利于维持正常心功能,但肥厚的心肌耗氧量增加,心肌顺应性降低,故长期病理性心肌肥厚会引起心律失常、心力衰竭或者猝死,增加患者死亡风险。研究证实,靶向抑制病理性心肌肥厚能够有效改善心功能<sup>[4]</sup>,因此,如何阻碍心肌肥厚的发生、发展已成为研究热点。心肌肥厚的发生机制复杂,除压力负荷外,交感神经兴奋性增强、肾素-血管紧张素-醛固酮系统激活、胰岛素抵抗、自噬及氧化应激均参与心肌肥厚的发展过程<sup>[5-6]</sup>。目前,研究者着重于探索能够靶向阻碍心肌细胞肥大的分子或者药物,Ang II处理心肌细胞能够建立体外心肌肥厚模型,可用于心肌肥厚发生机制的研究<sup>[7]</sup>。Ang II是Ang I在血管紧张素转化酶作用下产生的一种多肽物质。有研究证实,Ang II通过激活血管紧张素受体1,经 $\text{Ca}^{2+}$ -磷脂依赖性蛋白激酶途径,使细胞内 $\text{Ca}^{2+}$ 浓度增加,导致心脏后负荷增加,引起心肌肥厚<sup>[8]</sup>。在Ang II介导的心肌细胞损伤中,心肌细胞肥大的标志因子ANP、BNP和 $\beta$ -MHC表达显著上调<sup>[9-10]</sup>。本研究中,Ang II处理组细胞中ANP、BNP和 $\beta$ -MHC mRNA相对表达量较对照组显著升高,提示Ang II成功诱导了心肌细胞肥大;阴性对照组细胞中ANP、BNP和 $\beta$ -MHC mRNA相对表达量与Ang II处理组比较差异无统计学意义,表明细胞转染miR-185阴性对照对Ang II造成的心肌细胞肥大无明显影响。

MiRNA是一类长度约20~24个核苷酸的小



A:对照组;B:Ang II处理组;C:阴性对照组;D:miR-185过表达组。

**图1 4组细胞中活化型PARP、活化型caspase 3、CDC42蛋白的表达(Western blot)**

**Fig.1 Expression of cleaved PARP, cleaved caspase 3 and**

**CDC42 protein in the four groups (Western blot)**

RNA, 研究显示, miRNA 能够作为疾病诊断及预后判断的标志物, 同时, miRNA 参与调控心血管疾病、肿瘤等多种疾病的发生、发展<sup>[11]</sup>。研究发现, miR-185 通过调控癌细胞增殖、凋亡、自噬、侵袭和迁移而参与癌症的发生和发展<sup>[12-13]</sup>。有研究证实, Ang II 处理心肌成纤维细胞可导致细胞中 miR-185 表达水平下调<sup>[14]</sup>。目前, miR-185 对 Ang II 介导的心肌细胞肥大的作用机制尚不明确。因此, 本研究就 miR-185 对 Ang II 介导的心肌细胞系 H9c2 细胞肥大的作用进行探讨, 结果显示, Ang II 处理组细胞中 miR-185 表达较对照组下调, 提示 miR-185 可能参与调控 Ang II 介导的心肌细胞损伤; Ang II 处理组与阴性对照组细胞中 miR-185 相对表达量比较差异无统计学意义, 表明细胞转染 miR-185 阴性对照对 miR-185 表达无明显影响; 同时, 与 Ang II 处理组和阴性对照组比较, miR-185 过表达组细胞中 miR-185 相对表达量显著升高, 而 ANP、BNP 和  $\beta$ -MHC mRNA 相对表达量下降, 提示过表达 miR-185 可以抑制 Ang II 介导的心肌细胞肥大。

Ang II 通过促进心肌细胞肥大、成纤维细胞增殖而参与心脏重构。体外实验研究证实, Ang II 能够诱导心肌细胞凋亡<sup>[15]</sup>, 在体内应用血管紧张素转换酶抑制剂可以阻止心肌细胞凋亡<sup>[16]</sup>。细胞凋亡是心血管疾病中一个重要的病理过程, 阻止或者减少心肌细胞凋亡是保护心肌细胞、改善心功能的一个重要措施。有研究显示, miR-185 促进肺上皮细胞凋亡<sup>[17]</sup>; 但在内质网应激介导的心肌细胞损伤模型中, 过表达 miR-185 可抑制心肌细胞凋亡<sup>[18]</sup>; 这些研究表明, miR-185 对不同细胞的作用不完全一致。Caspase 家族成员在细胞凋亡中具有重要作用, 其家族成员主要包括凋亡启动因子和凋亡执行因子。Caspase 3 是关键的凋亡执行因子, 是细胞凋亡过程中的主要效应因子, 其活化是凋亡进入不可逆阶段的标志。活化型 caspase 3 能够对其底物进行切割, PARP 就是活化型 caspase 3 的底物之一, 被活化型 caspase 3 切割后, 得到的活化型 PARP 也是细胞凋亡早期标志因子<sup>[19-20]</sup>。因此, 可以通过测定活化型 caspase 3 和活化型 PRAP 来评价细胞凋亡水平。本研究结果显示, Ang II 处理组细胞较对照组细胞活性降低, 细胞凋亡小体富集因子显著升高, 活化型 caspase 3 和活化型 PARP 蛋白表达水平上调, 表明 Ang II 可以降低心肌细胞活性, 诱导心肌细胞凋亡; 阴性对照组与 Ang II 处理组细胞活性及细胞中凋亡小体富集因子、活化型 caspase 3 和活化型 PARP 蛋白表达

水平比较差异无统计学意义, 表明细胞转染 miR-185 阴性对照对 Ang II 造成的心肌细胞活性降低和凋亡无影响; 与 Ang II 处理组和阴性对照组比较, miR-185 过表达组细胞活性增高, 细胞凋亡小体富集因子显著降低, 活化型 caspase 3 和活化型 PARP 蛋白表达下调, 提示 miR-185 过表达可以改善 Ang II 导致的心肌细胞活性降低, 抑制心肌细胞凋亡。

CDC42 是肾素-血管紧张素系统同系物家族成员之一, 具有心肌损伤作用。与野生型小鼠相比, 特异性敲除心脏 CDC42 的小鼠在第 2、8 周心肌肥厚程度加重, 并很快转变为心力衰竭<sup>[21]</sup>。胚胎心肌细胞 CDC42 缺失会导致右心室发育不良<sup>[22]</sup>, 且 CDC42 可促进缺血再灌注诱导的心肌细胞凋亡<sup>[23]</sup>。CDC42 在压力超负荷的心脏和体外培养的心肌细胞中可被多种激动剂包括 Ang II 和异丙肾上腺素激活。本研究发现, 与对照组比较, Ang II 处理组细胞中 CDC42 mRNA 和蛋白相对表达量显著增高, 提示 CDC42 参与 Ang II 介导的细胞损伤; 阴性对照组细胞中 CDC42 mRNA 和蛋白相对表达量与 Ang II 组比较差异无统计学意义, 表明细胞转染 miR-185 阴性对照对 Ang II 造成的 CDC42 mRNA 和蛋白表达无明显影响; 与 Ang II 处理组和阴性对照组比较, miR-185 过表达组细胞中 CDC42 mRNA 和蛋白相对表达量显著下调, 表明 miR-185 能够抑制 CDC42 表达。

综上所述, miR-185 可能通过下调心肌细胞 CDC42 水平来减轻 Ang II 介导的心肌细胞损伤, 抑制 Ang II 介导的心肌细胞肥大, 改善心肌细胞活性, 抑制心肌细胞凋亡, 从而发挥心肌保护作用。

## 参考文献:

- MAKAVOS G, KAPPALARIS C, TSELEGKIDI M E, et al. Hypertrophic cardiomyopathy: an updated review on diagnosis, prognosis, and treatment [J]. *Heart Fail Rev*, 2019, 24(4): 439-459.
- PINTI M V, HATHAWAY Q A, HOLLANDER J M. Role of microRNA in metabolic shift during heart failure [J]. *Am J Physiol Heart Circ Physiol*, 2017, 312(1): H33-H45.
- CHEUNG Y, JI R, YUE J, et al. MicroRNAs are aberrantly expressed in hypertrophic heart: do they play a role in cardiac hypertrophy [J]. *Am J Pathol*, 2007, 170(6): 1831-1840.
- GESMUNDO I, MIRAGOLI M, CARULLO P, et al. Growth hormone-releasing hormone attenuates cardiac hypertrophy and improves heart function in pressure overload-induced heart failure [J]. *Proc Natl Acad Sci USA*, 2017, 114(45): 12033-12038.
- 王卓, 司澳洋, 刘亚坤, 等. 抵抗素通过酪氨酸蛋白激酶 2/信号转导子和转录激活子 3 信号通路诱导心肌细胞肥厚的分子机制研究 [J]. 新乡医学院学报, 2017, 34(4): 265-269.
- 肖坤. 心肌肥厚的发病机制与治疗现状 [J]. 赣南医学院学报,

- 2017,37(3):495-500.
- [7] SHENG Z, XU Y, LI F, et al. CSN5 attenuates Ang II-induced cardiac hypertrophy through stabilizing LKB1 [J]. *Exp Cell Res*, 2019,376(1):11-17.
- [8] TANAKA Y, OBATA K, OHMORI T, et al. Angiotensin II induces automatic activity of the isolated guinea pig pulmonary vein myocardium through activation of the IP3 receptor and the  $\text{Na}^+ - \text{Ca}^{2+}$  exchanger [J]. *Int J Mol Sci*, 2019,20(7):E1768.
- [9] YU X J, HUANG Y Q, SHAN Z X, et al. MicroRNA-92b-3p suppresses angiotensin II-induced cardiomyocyte hypertrophy via targeting HAND2 [J]. *Life Sci*, 2019,232:116635.
- [10] DONG Z X, WAN L, WANG R J, et al. (-)-Epicatechin suppresses angiotensin II-induced cardiac hypertrophy via the activation of the SP1/SIRT1 signaling pathway [J]. *Cell Physiol Biochem*, 2017,41(5):2004-2015.
- [11] PARIZADEH S M, JAFARZADEH-ESFEHANI R, GHANDEHARI M, et al. Circulating and tissue microRNAs as biomarkers for ovarian cancer prognosis [J]. *Curr Drug Targets*, 2019,20(14):1447-1460.
- [12] CHENG J Z, CHEN J J, WANG Z G, et al. MicroRNA-185 inhibits cell proliferation while promoting apoptosis and autophagy through negative regulation of TGF- $\beta$ /mTOR axis and HOXC6 in nasopharyngeal carcinoma [J]. *Cancer Biomark*, 2018,23(1):107-123.
- [13] LI L, WANG X, LIU D. MicroRNA-185 inhibits proliferation, migration and invasion in human osteosarcoma MG63 cells by targeting vesicle-associated membrane protein 2 [J]. *Gene*, 2019, 696:80-87.
- [14] JIANG X, NING Q, WANG J. Angiotensin II induced differenti-
- ally expressed microRNAs in adult rat cardiac fibroblasts [J]. *J Physiol Sci*, 2013,63(1):31-38.
- [15] WANG X, YANG C, LIU X, et al. Ghrelin alleviates angiotensin II-induced H9c2 apoptosis: impact of the miR-208 family [J]. *Med Sci Monit*, 2018,24:6707-6716.
- [16] 柳培雨,田毅. 血管紧张素转换酶抑制剂与心肌缺血再灌注的细胞凋亡[J]. 医学与哲学,2010,31(9):41-43.
- [17] ZHANG D, LEE H, CAO Y, et al. miR-185 mediates lung epithelial cell death after oxidative stress [J]. *Am J Physiol Lung Cell Mol Physiol*, 2016,310(7):700-710.
- [18] KIM J O, KWON E J, SONG D W, et al. miR-185 inhibits endoplasmic reticulum stress-induced apoptosis by targeting  $\text{Na}^+/\text{H}^+$  exchanger-1 in the heart [J]. *BMB Rep*, 2016,49(4):208-213.
- [19] NAGATA S. Apoptosis and clearance of apoptotic cells [J]. *Annual Rev Immunol*, 2018,36(1):489-517.
- [20] WEI Q, DENG H, CUI H, et al. A mini review of fluoride-induced apoptotic pathways [J]. *Environ Sci Pollut Res Int*, 2018, 25(34):33926-33935.
- [21] MAILLET M, LYNCH J M, SANNA B, et al. Cde42 is an antihypertrophic molecular switch in the mouse heart [J]. *J Clin Invest*, 2009,119(10):3079-3088.
- [22] LIU Y, WANG J, LI J, et al. Deletion of Cde42 in embryonic cardiomyocytes results in right ventricle hypoplasia [J]. *Clin Transl Med*, 2017,6(1):40.
- [23] XU X, KONG L, SONG X, et al. Effect of Cde42 on myocardial ischemia-reperfusion of rats [J]. *Cell Mol Biology*, 2017,63(7):31-34.

(本文编辑:李胜利 英文编辑:杨 博)

**(上接第 1023 页)**

- [13] GAO S, MCMILLAN R P, ZHU Q, et al. Therapeutic effects of adropin on glucose tolerance and substrate utilization in diet-induced obese mice with insulin resistance [J]. *Mol Metab*, 2015,4(4):310-324.
- [14] NIU H, WANG J, LI H, et al. Rapamycin potentiates cytotoxicity by docetaxel possibly through downregulation of Survivin in lung cancer cells [J]. *J Exp Clin Canc Res*, 2011,30(1):28.
- [15] BAÑOS R M, OLIVER E, NAVARRO J, et al. Efficacy of a cognitive and behavioral treatment for childhood obesity supported by the ETIOBE web platform [J]. *Psychol Health Med*, 2019,24(6):703-713.
- [16] 刘群,陈莎莎,刘守胜,等. Adropin 在非酒精性脂肪性肝病中的研究进展 [J]. 中国肝脏病杂志:电子版,2018,10(2):12-16. DOI: 10.3969/j.issn.1674-7380.2018.02.002.
- [17] 柏雪,王建萍,丁雪梅,等. 氨基酸缺乏诱导细胞自噬的哺乳动物雷帕霉素靶蛋白复合体 C1 信号通路机制研究进展 [J]. 动物营养学报,2017,29(3):28-33.
- [18] ZHANG Q, WANG D, ZHANG H, et al. Detection of autophagy processes during the development of nonarticulated laticifers in *Euphorbia kansui* Liou [J]. *Planta*, 2018,247(4):845-861.
- [19] 李蓉,杜军辉,姚杨,等. 血管内皮细胞生长因子抑制剂对视网膜血管内皮细胞自噬的促进作用 [J]. 眼科新进展,2018, 38(10):935-939.
- [20] 杨万霞,苏强,邢爱华,等. 饥饿对 Beclin-1 依赖的 Ana-1 细胞自噬和凋亡的影响 [J]. 吉林大学学报(医学版),2018,44(4):18-22.
- [21] MAEJIMA Y, ISOBE M, SADOSHIMA J. Regulation of autophagy by Beclin 1 in the heart [J]. *J Mol Cell Cardiol*, 2016,95(1):19-25.
- [22] 魏砚明. 多种细胞自噬调节剂对自噬标记物 LC3 II 及 p62 表达的影响 [J]. 中国药科大学学报,2018,49(3):341-347.
- [23] ZHANG Y, GENG Y, HE J, et al. Tanshinone II A induces apoptosis and autophagy in acute monocytic leukemia via downregulation of PI3K/Akt pathway [J]. *Am J Transl Res*, 2019,11(5):2995-3006.
- [24] KIM K Y, PARK K I, KIM S H, et al. Inhibition of autophagy promotes salinomycin-induced apoptosis via reactive oxygen species-mediated PI3K/AKT/mTOR and ERK/p38 MAPK-dependent signaling in human prostate cancer cells [J]. *Int J Mol Sci*, 2017, 18(5):1088.
- [25] GAO F, FANG J, CHEN F, et al. Enho mutations causing low adropin: a possible pathomechanism of MPO-ANCA associated lung injury [J]. *Ebiomedicine*, 2016,9:324-335.

(本文编辑:李胜利 英文编辑:杨 博)